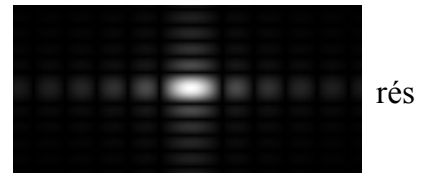
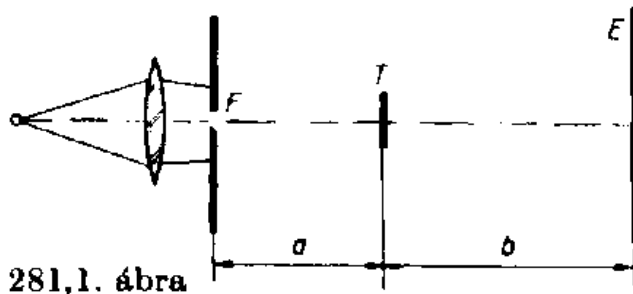


A fényelhajlás alapjelenségei. Fresnel- és Fraunhofer-féle elhajlás. Fraunhofer-féle elhajlás résen, kör alakú nyíláson és optikai rácson

- A fénysugarakkal leírható egyenes vonalú terjedéstől bizonyos esetekben eltérés mutatkozik!
- A fény az árnyékszögbe is behatol, ahová pedig az egyenes vonalú terjedés szerint nem juthatna el. Az árnyékhatár közelében világos és sötét helyek váltakozása figyelhető meg.
- A fény hullámtermészetének egyik fontos bizonyítéka



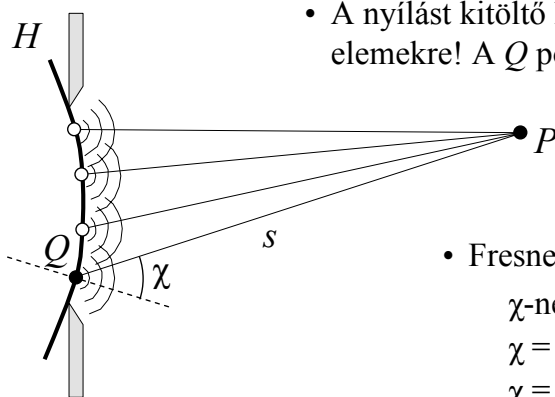
Kísérleti bemutatása



• Értelmezése: Huygens-Fresnel-féle elv

A fényhullámok terjedése során egy hullámfelület minden pontja elemi hullámforrás. Egy későbbi időpontban egy adott helyen megfigyelhető hatást ezen elemi hullámok interferenciája határozza meg.

A Huygens-Fresnel-féle elv matematikai megfogalmazása



- A nyílást kitöltő hullámfelület osszuk fel kicsiny ΔS nagyságú felületelemekre! A Q pont körüli felületelem által keltett elemi hullám:

$$\Delta E = \frac{E(Q)}{s} \cdot \sin \left[\omega \cdot \left(t - \frac{s}{c} \right) + \frac{\pi}{2} \right] \cdot K(\chi) \Delta S$$

- Fresnel feltevése szerint a $K(\chi)$ inklinációs faktor χ -nek lassan változó, monoton csökkenő függvénye, $\chi = 0$ értékre maximális, $\chi = \pi/2$ értékre zérus.

- A P pontbeli térerősség a felületelemek által keltett elemi hullámok térerősségeinek összegeként, vagyis az elemi hullámok interferenciájaként áll elő.
- Ezzel a gondolatmenettel eljuthatunk az u.n. **diffrakciós integrál** fogalmához, amely a Huygens-Fresnel-féle elv matematikai megfogalmazása és a hullámegyenletből kiindulva is levezethető.
- A szükséges matematikai ismeretek hiánya miatt egy közelítő eljárást fogunk alkalmazni az elhajlási jelenségek értelmezésénél.
- A hullámfelület felületelemekre – Fresnel-féle zónákra – bontjuk majd fel egy adott, később ismerttetett szabály alapján.

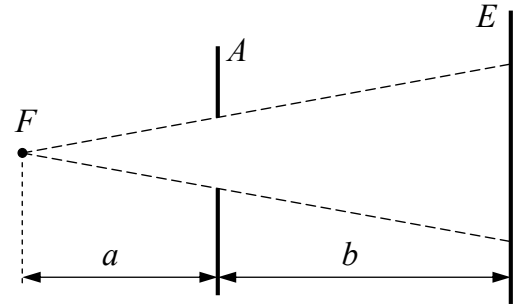
Az elhajlási jelenségek osztályozása

- **Fresnel-féle**

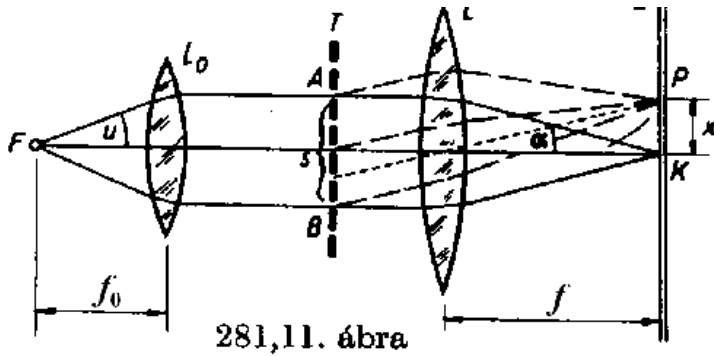
A fényforrásnak és a megfigyelési helynek az elhajlító tárgytól mért távolsága (a és b) véges.

- **Fraunhofer-féle**

A fényforrásnak és a megfigyelési helynek az elhajlító tárgytól mért távolsága (a és b) végtelen (nagyon nagy).



A Fraunhofer-féle elhajlás kísérleti megvalósítása



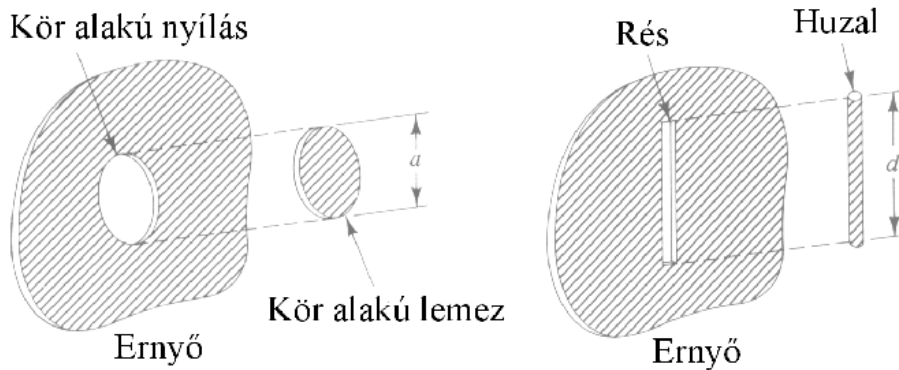
281,11. ábra

Néhány fontosabb akadály

- rés
- él
- kör alakú nyílás
- gyűrű alakú nyílás
- átlátszatlan korong
- kettős rés
- optikai rács
- zónalemez

Babinet-féle elv

Egy elhajlító tárgy és annak komplementere által létrehozott elhajlási jelenségek közötti kapcsolatot fogalmazza meg.



Az elhajlító tárgy és a komplementere által diffraktált fénycsövek együttesen (azaz fénycsöveket összeadva) a zavartalan terjedéshez tartozó fénycsövet adják.

$$E_{\text{zavartalan}} = E_{\text{elhajlított}}^{(\text{nyílások})} + E_{\text{elhajlított}}^{(\text{komplementer nyílások})}$$

Elhajlás szemléltetése víz hullámmal

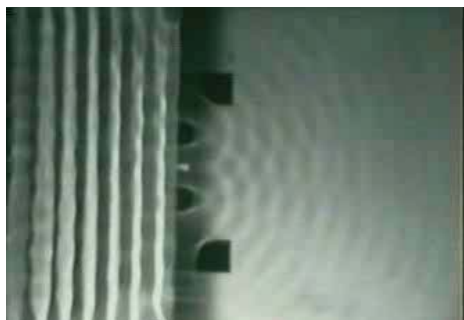
él



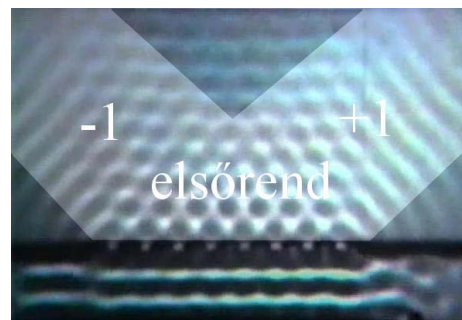
rés



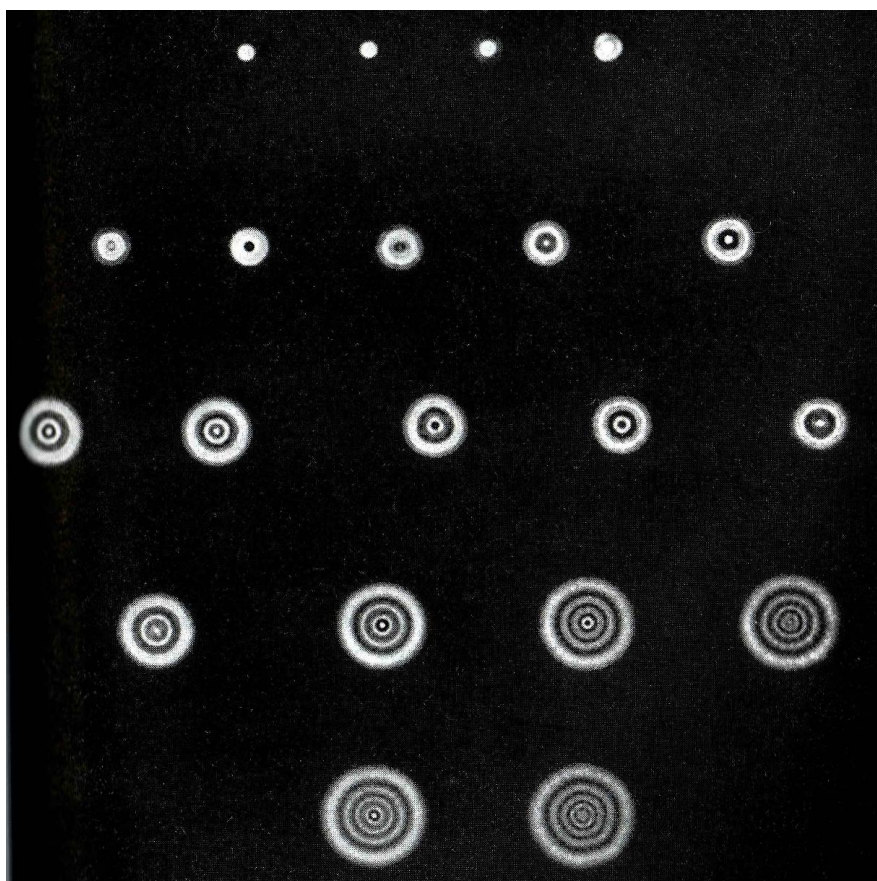
kettős rés



rács



Fresnel-féle elhajlás kör alakú nyíláson. Fresnel-féle zónák



Néhány Fresnel-féle elhajlási kép kör alakú nyílásra

- A kísérletek szerint a nyílás tengelyén bizonyos pontokban **sötét** van!
- Más helyeken viszont **intenzívebb** a fényhatás, mint a nyílás **nélkül** lenne!

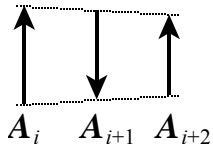
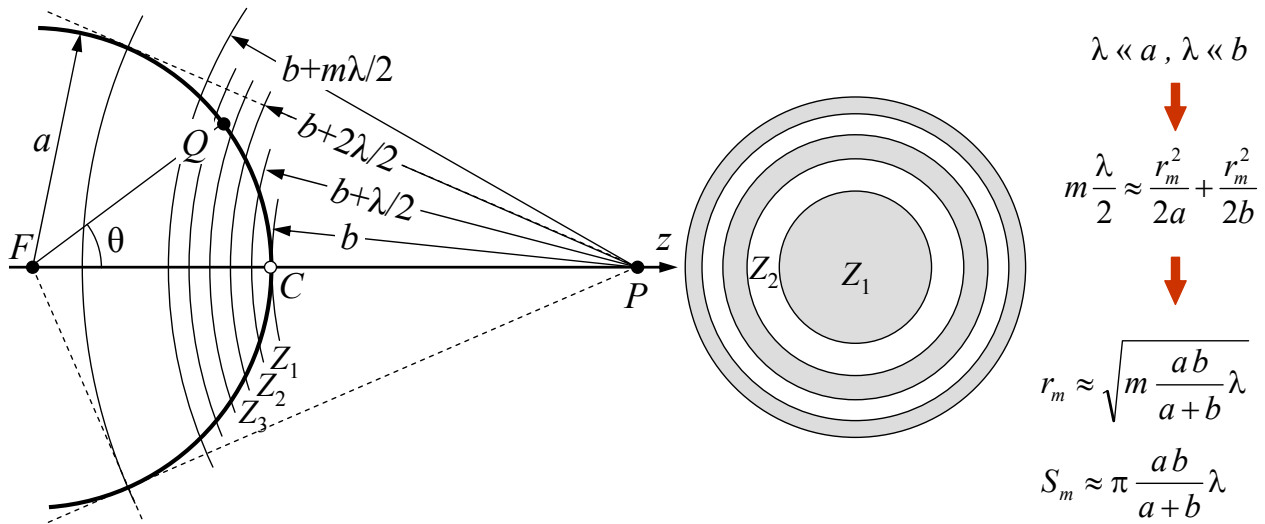
A jelenséget a Huygens-Fresnel-féle elv segítségével érthetjük meg!

- A nyílást kitöltő hullámfelületet felosszuk rész felületekre (Fresnel-féle zónákra).

• A zónaszerkesztés szabálya:

A hullámfrontot úgy osztjuk fel **zónákra**, hogy két **szomszédos** zónának a megfigyelési ponttól mért távolsága a **hullámhossz felével** különbözzön.

Ekkor két **szomszédos** zóna **ellentétes** fázisú rezgést kelt a megfigyelési pontban!



- A $\lambda/2$ útkülönbség miatt az egymás melletti zónák ellentétes irányú térerősséget létesítenek.
- Az amplitúdók közel azonosak, a rendszám növekedésével főként az eltérítési faktor lassú csökkenése miatt igen lassan monoton csökkennek.

Zavartalan terjedés (nincs a hullám útjában akadály)

$$A = A_1 - A_2 + A_3 - A_4 + \dots \pm A_N$$

$$A = \frac{A_1}{2} + \underbrace{\left(\frac{A_1}{2} - A_2 + \frac{A_3}{2}\right)}_{\approx 0} + \underbrace{\left(\frac{A_3}{2} - A_4 + \frac{A_5}{2}\right)}_{\approx 0} + \dots \pm \underbrace{\frac{A_N}{2}}_{\approx 0} \quad \rightarrow \quad A \approx \frac{A_1}{2}$$

- A P pontban olyan a fényhatás mintha az első zóna fele hozta volna létre.
- Mivel λ kicsi, r_1 szintén kicsi. Így a terjedés egyenes vonalúnak tekinthető

A nyílás sugara a hullámhosszhoz képest nagy \rightarrow a nyílást kitöltő zónák száma $m \gg 1$

$$A = \frac{A_1}{2} + \underbrace{\left(\frac{A_1}{2} - A_2 + \frac{A_3}{2}\right)}_{\approx 0} + \underbrace{\left(\frac{A_3}{2} - A_4 + \frac{A_5}{2}\right)}_{\approx 0} + \dots \pm \underbrace{\frac{A_m}{2}}_{\approx 0} \quad \rightarrow \quad A \approx \frac{A_1}{2}$$

- A P pontban a fényhatás olyan mint a szabad terjedés esetén.

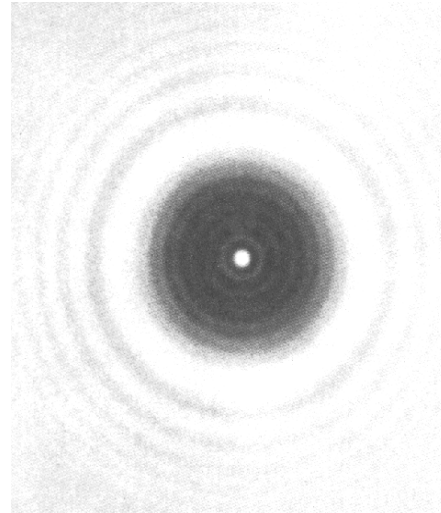
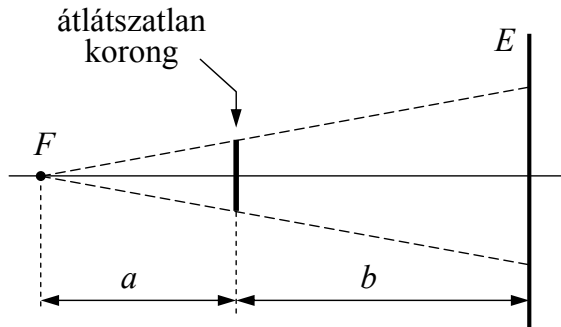
A nyílás sugara a hullámhosszal azonos nagyságrendű vagy kicsit nagyobb

$$A = \begin{cases} 0, & \text{ha nyílást kitöltő zónák száma páros } (m = 2n) \\ A_1, & \text{ha nyílást kitöltő zónák száma páratlan } (m = 2n + 1) \end{cases}$$

Poisson-, vagy Arago-féle folt

elméleti kimutatás ←

→ kísérleti igazolás



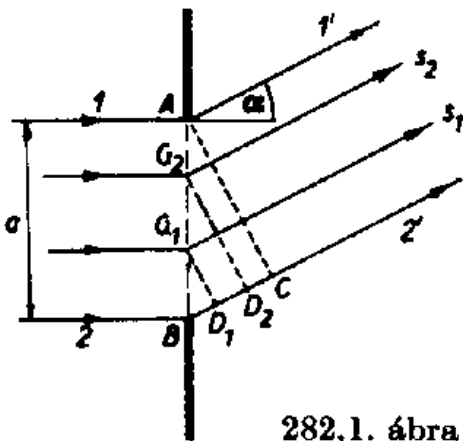
- Az ernyő helyétől függetlenül a korong tengelyén mindig **világos** folt van!
- Középen az intenzitás éppen akkora mintha a korong ott **sem lenne!**

Ha korong az első $n - 1$ darab zónát takarja ki:

$$A = \frac{A_n}{2} + \underbrace{\left(\frac{A_n}{2} - A_{n+1} + \frac{A_{n+2}}{2} \right)}_{\approx 0} + \underbrace{\left(\frac{A_{n+2}}{2} - A_{n+3} + \frac{A_{n+4}}{2} \right)}_{\approx 0} + \dots \pm \underbrace{\frac{A_m}{2}}_{\approx 0} \rightarrow A \approx \frac{A_n}{2}$$

Fraunhofer-féle elhajlás résen

A gyengítési és erősítési irányok kiszámítása a Fresnel-zónákkal



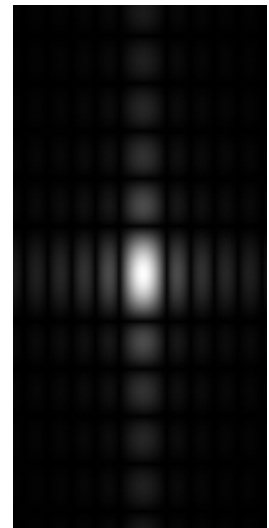
282, 1. ábra

- $\alpha = 0$ irányba erősítés lép fel.
- $\alpha \neq 0$ esetén milyen irányokba van gyengítés és erősítés?

$$\overline{BC} = \Delta s_{\max}(\alpha) = a \cdot \sin \alpha$$

Fresnel-zónák száma az α irányból nézve:

$$N = \frac{\Delta s_{\max}(\alpha)}{\lambda/2} = \frac{a \cdot \sin \alpha}{\lambda/2}$$



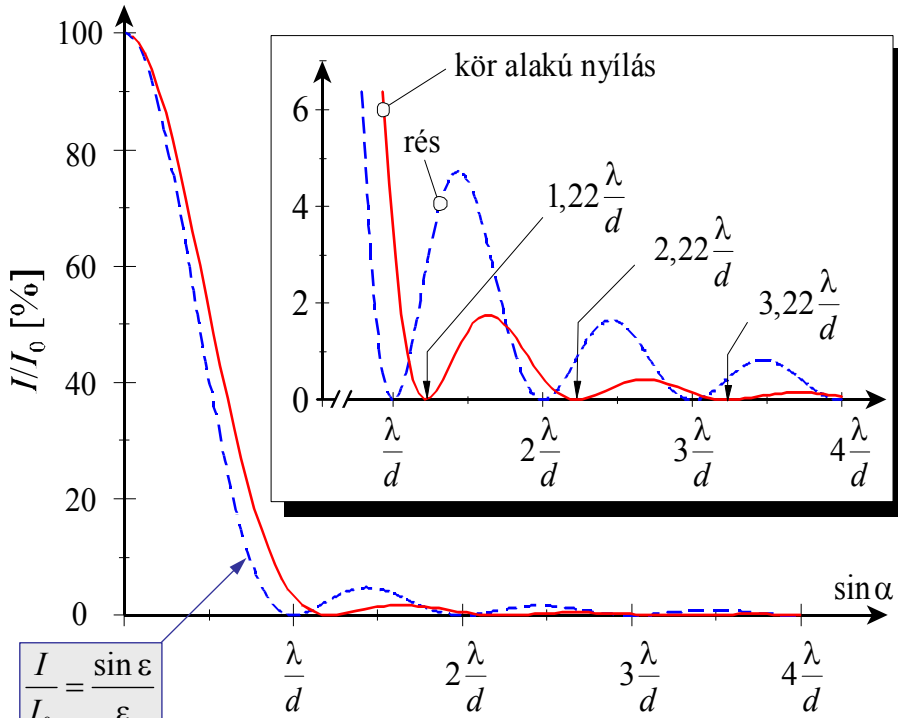
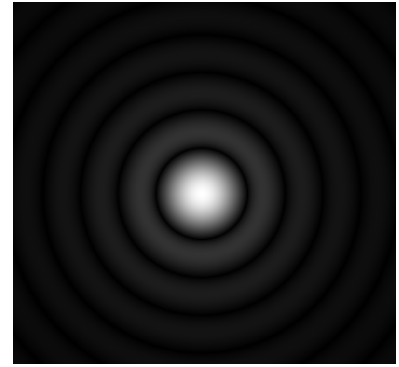
A fényhatás $\left\{ \begin{array}{l} \text{gyengítés, ha az } \alpha \text{ irányból nézve a zónák száma páros} \\ \text{erősítés, ha az } \alpha \text{ irányból nézve a zónák száma páratlan} \end{array} \right.$

$$N = \frac{a \cdot \sin \alpha}{\lambda/2} = \begin{cases} 2m, & \text{gyengítés esetén} & \leftrightarrow & a \cdot \sin \alpha = m \cdot \lambda \\ 2m + 1, & \text{erősítés esetén} & \leftrightarrow & a \cdot \sin \alpha = (m + 1/2) \cdot \lambda \end{cases}$$

ahol $m = 1, 2, 3, \dots$

Fraunhofer-féle elhajlás kör alakú nyíláson

Intenzitás az elhajlási szög szinuszának függvényében
 d átmérőjű környílás és d szélességű rés esetén.



$$\frac{I}{I_0} = \frac{\sin \varepsilon}{\varepsilon}$$

$$\varepsilon = \pi \cdot (d/\lambda) \cdot \sin \alpha$$

kör alakú nyílás esetén

Az 1. kioltási irányra:

$$d \sin \alpha_1 = 1,22 \lambda$$

rés esetén

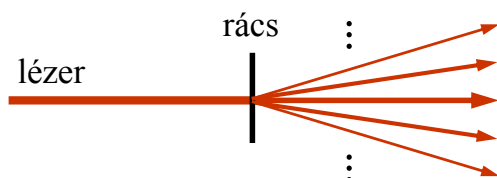
Az 1. kioltási irányra:

$$d \sin \alpha_1 = \lambda$$

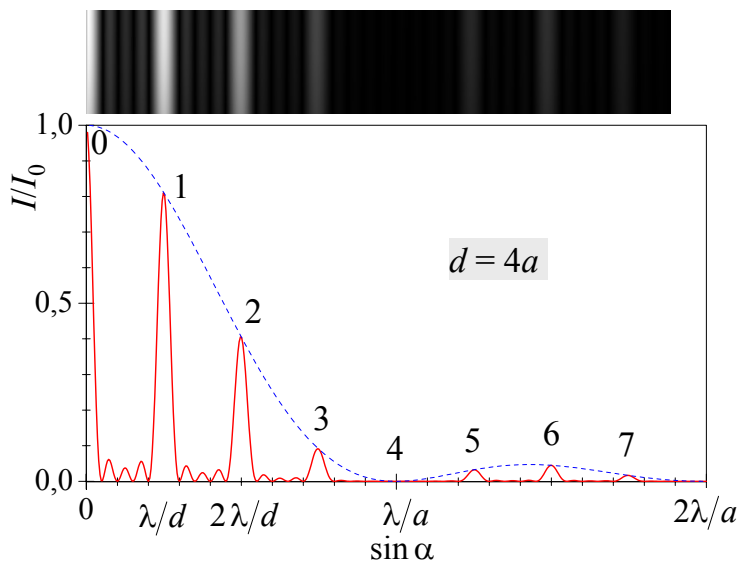
Környílás esetén a mellékmaximumok kisebb intenzitásúak, mint a rés esetén!

Fraunhofer-féle elhajlás optikai rácson

kísérlet

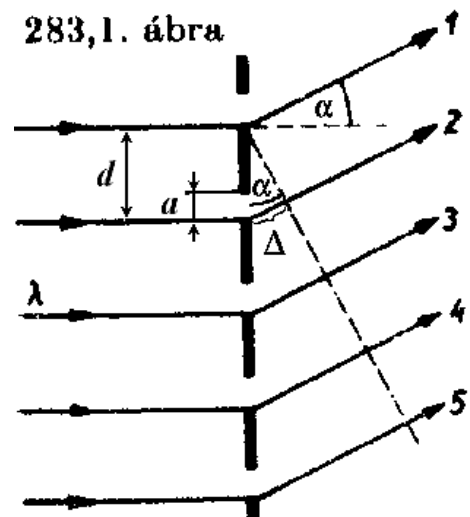


Intenzitás az elhajlási szög szinuszának függvényében



Az erősítés feltételének kiszámítása

283,1. ábra



$$\Delta = d \sin \alpha$$

Az erősítés feltétele

$$\Delta = m \lambda$$

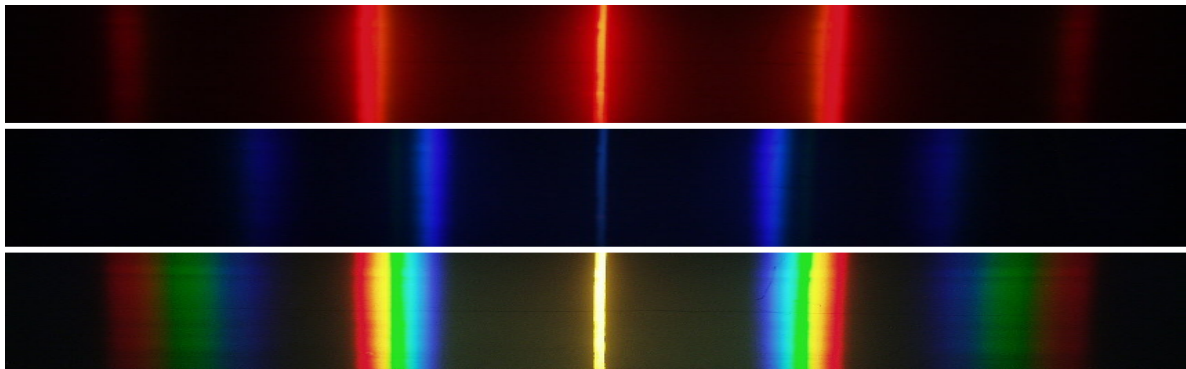
$$(m = 0, \pm 1, \pm 2, \dots)$$

$$d \sin \alpha_m = m \lambda$$

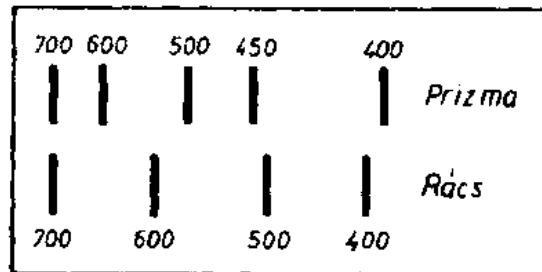
$$d \sin \alpha_m = m \lambda$$

Az eltérítés szöge függ a hullámhossztól!

- Ezért az optikai rács spektroszkópai eszközökben bontó elemként használható.
- A spektrum (kis szögváltozásokra) lineárisan függ a hullámhossztól, és
- a színek hossza az interferencia rendjével arányos.

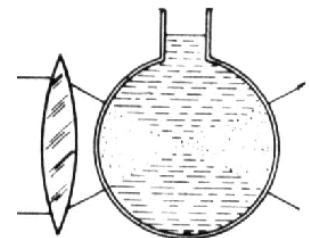


A prizma és a rács által létrehozott spektrum összehasonlítása



Fényszóródás

- Az ábrán látható kísérletnél a nyaláb fénykúpja oldalról is látható. A jelenséget a fényszóródással magyarázhatjuk.
- A fényszóródás a közegben lévő átlátszatlan, vagy közegetől eltérő törésmutatójú átlátszó, a hullámhossznál **kisebb** részecskék által létrehozott jelenség.



284,3. ábra

A fényszóródás osztályozása

Rugalmas szórás (nem változik meg a hullámhossz)

- A szóró centrumok töltött részecskéket tartalmaznak (pl. elektronokat). A töltött részecskék kényszerrezgést végeznek a beeső fény hatására és ezáltal maguk is fényt sugároznak ki. A beeső (primer) és a másodlagos (szekunder) hullám koherens esetben interferál egymással.

Példák

- Rayleigh-féle szórás
- Mie-féle szórás

Rugalmatlan szórás (megváltozik a hullámhossz)

- Klasszikus értelmezés: A rezgő töltéseket nemlineáris erők kötik az egyensúlyi helyzetükhöz, így nemlineáris kényszerrezgés alakul ki.
- A jelenségek pontos értelmezéséhez a kvantumelmélet szükséges.

Példák

- Raman-féle szórás (a molekulák rezgése és forgása okozza)
- Compton-féle szórás (foton-elektron ütközés)
- Brillouin-féle szórás (foton-fonon ütközés)

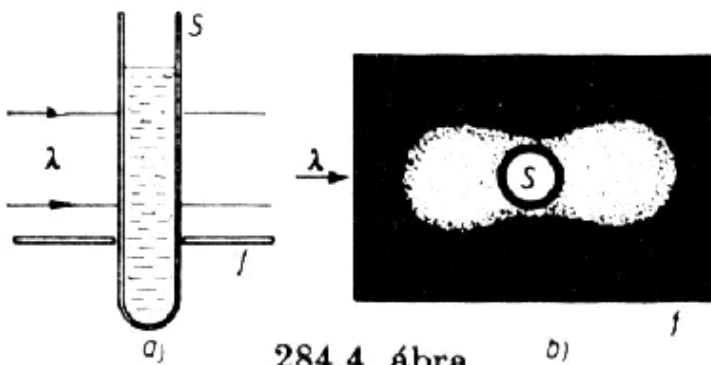
Rayleigh-féle szórás

- A szóró centrumok mérete **sokkal kisebb**, mint a megvilágító fény hullámhossza.
- A szórt fény **koherens**, azaz interferenciaképes a gerjesztő fénnel.
- A szórt fény intenzitása a hullámhossz negyedik hatványával fordítva arányos (azaz a kék színű fény sokkal jobban szóródik, mint a vörös)

Ezzel magyarázható például

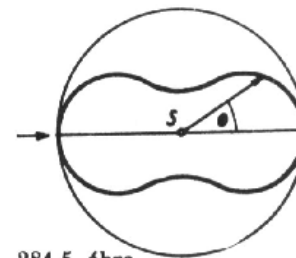
- a nappali tiszta égbolt **kék** színe,
- a felkelő és lenyugvó nap **vörös** színe,
- vörös, vagy infravörös fényt használva olyan távoli tárgyak is lefényképezhetők, melyek kék fényben már nem is láthatók (infravörös fényképezés).

Kísérleti szemléltetés



A szórt fény intenzitása

$$J_{\Theta} \approx \frac{\pi^2 (1 + \cos^2 \Theta) (n^2 - 1)^2 V^2}{2 r^2 \lambda^4} J_0$$

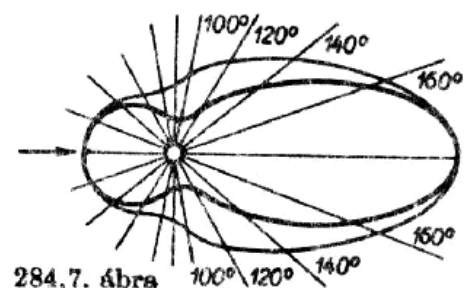
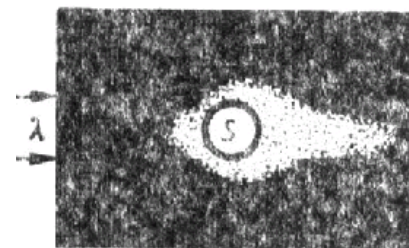


Mie-féle szórás

- A szóró centrumok **lényegesen nem kisebbek**, mint a megvilágító fény hullámhossza.
- A szórt fényintenzitás polárdiagramját az ábra mutatja.
- A szórt fény a beesővel nem minden esetben koherens.
- A szórt fény intenzitása jó közelítéssel **független** a megvilágító fény hullámhosszától.

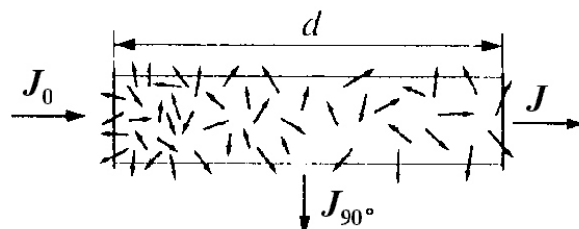
Ezzel magyarázható például

- a nappali párás égbolt szürkés színe,
- a kifújta cigaretta füst szürkés színe.

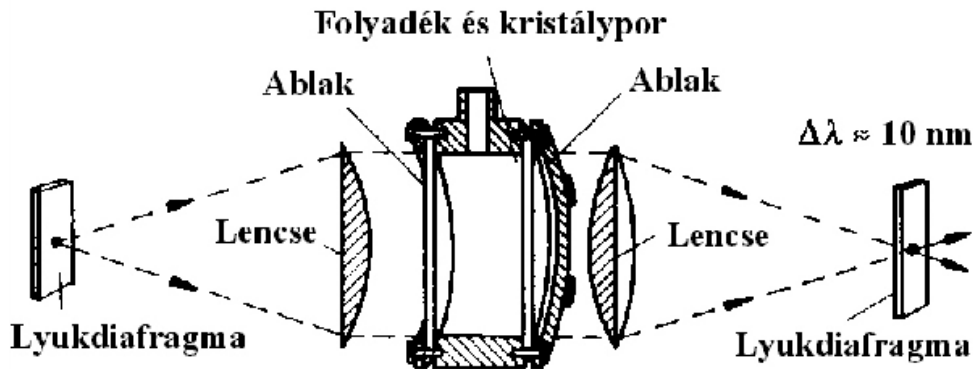
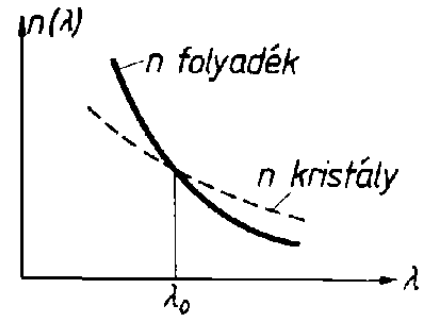
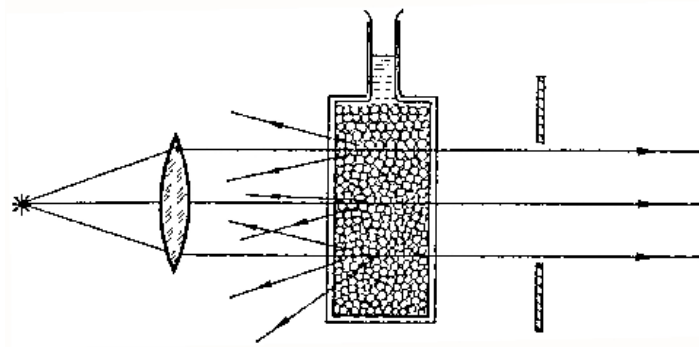


További megjegyzések és alkalmazások

A fényszóródás következtében látjuk oldalról a levegőben (vagy más közegben) terjedő fénynyalábot

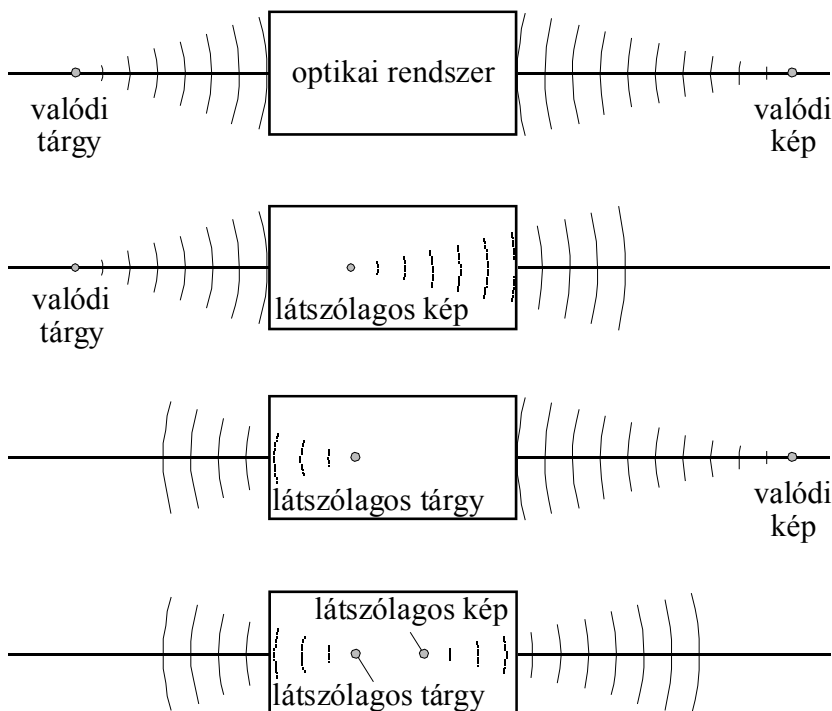


Diszperziós (vagy Christiansen-féle) szűrő



Az optikai leképezés hullámelmélete. Az optikai eszközök felbontóképessége

- Egy képalkotási hibáktól mentes optikai leképező rendszer – a geometriai optika szerint – pontot pontba képez.
- A képalkotás **hullámoptikai** értelmezése: egy ideális képalkotó optikai rendszerre gömbhullám esik be, akkor az leképező eszközt szintén gömbhullám hagyja el.

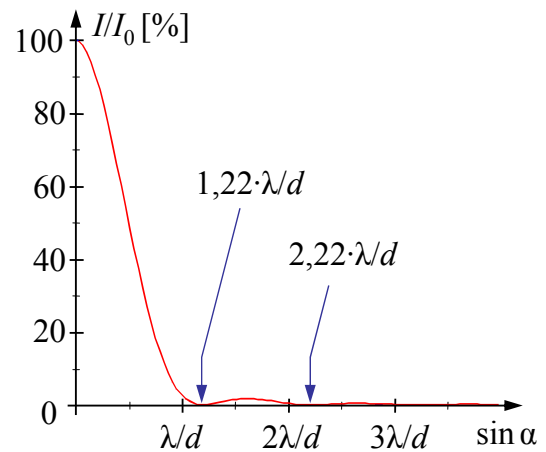
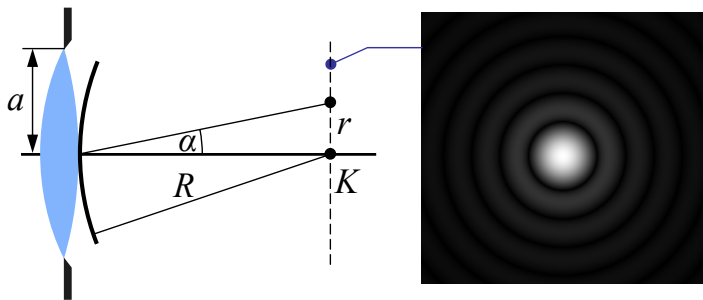


Szemléltetés víz hullámokkal



- A belépő és a kilépő hullámfrontok görbületi sugarát (a fősíkoknál) az $1/f = 1/t + 1/k$ leképezési egyenlet határozza meg.
- A képalkotó rendszer **kilépő** – legtöbb esetben kör alakú – **nyílásán** elhajlás lép fel.
- Az elhajlást leíró – Huygens-Fresnel-elvet matematikai alakban kifejező – diffrakciós integrál vizsgálatával megmutatható, hogy a **képsíkbeli intenzitás** megegyezik a nyíláshoz tartozó **Fraunhofer-féle elhajláshoz** tartozó intenzitás mintázattal.

Fraunhofer-féle elhajlás kör alakú nyíláson



Paraxiális közelítésben: $\sin \alpha \approx r/R$

- Az első sötét gyűrű sugarát jelölje ρ .
- Az intenzitást leíró grafikonról leolvasható, hogy

$$\rho/R = 1,22 \cdot \lambda/d = 0,61 \cdot \lambda/a$$



$$\rho = 0,61 \cdot (R/a) \lambda$$

- Eredményünk azt mutatja, hogy az **elhajlás miatt** az ideális leképezés még egy képalkotási hibáktól mentes optikai leképező rendszer esetén **sem** valósul meg, hiszen a képsíkban egy pontnak egy korong – az ú.n. **elhajlási korong** – felel meg, amelynek a sugara

$$\rho = 0,61 \cdot (R/a) \lambda$$

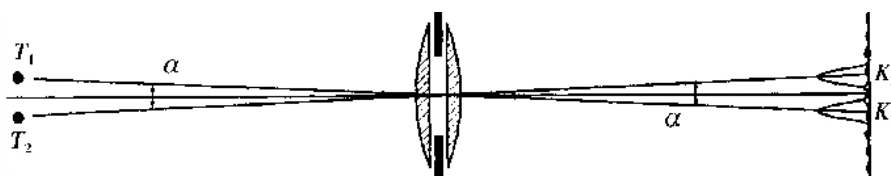
a a kilépő nyílás sugara, R a kilépő nyílást kitöltő hullámfront görbületi sugara, λ a hullámhossz.

Optikai eszközök felbontóképessége

- Optikai leképezés során mikor különböztethető meg két különálló pontszerű tárgy képe?
- Ha két kép megkülönböztethető, akkor azt mondjuk, hogy az optikai eszköz felbontja a két különálló pontszerű tárgyat.
- A geometria optika szerint ideális képalkotás esetén, a felbontásnak elvileg nincsen határa, hiszen a nagyítás növelésével a két pontszerű kép mindig felbontható.
- Valójában az **elhajlás** és a gyakorlatilag teljesen nem kiküszöbölhető **képalkotási hibák** mindig **korlátozzák** a felbontást.

Képalkotó optikai eszköz felbontási határa: Két, még éppen felbontott tárgy pont (szög)távolsága.

Képalkotó optikai eszköz felbontóképessége: Két, még éppen felbontott tárgy pont (szög)távolságának, azaz a felbontási határának a reciproka.

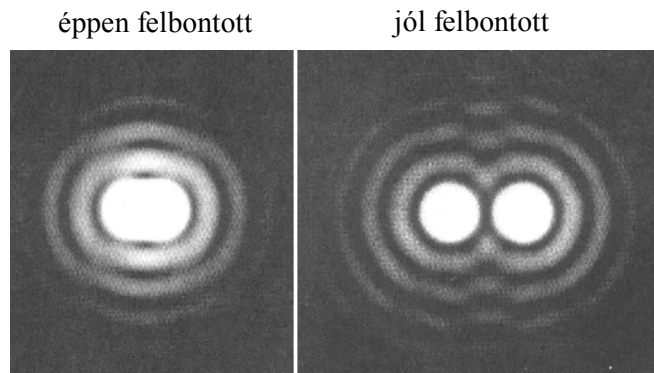


- A képek megkülönböztethetőségét nyilván valamilyen megállapodás alapján tudjuk eldönteni.

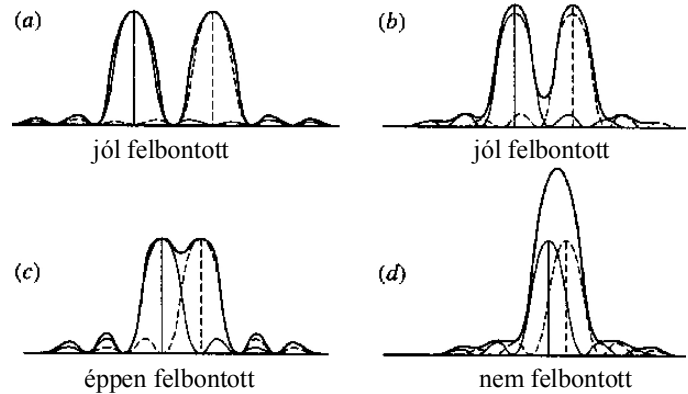
Rayleigh-féle kritérium

A két tárgypontra **felbontottnak** tekintjük, ha a képeknek megfelelő elhajlási korongok közül az egyiknek a **középpontja** a másik **peremére**, vagy **azon kívülre** esik.

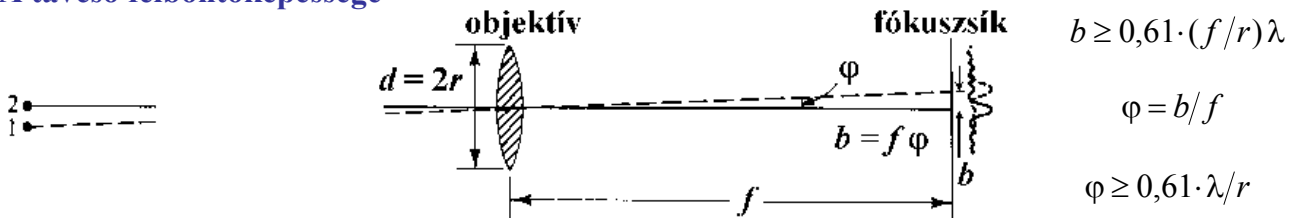
Az intenzitásokkal megfogalmazva, ez azt jelenti, hogy a **felbontás határán** az egyik kép intenzitás **maximuma** a másik kép intenzitásának az **első zérushelyére** esik.



- Mivel a Rayleigh-féle kritérium esetén az intenzitásokat hasonlítjuk össze, nyilván a kritérium, akkor használható amikor **a két tárgypontra nem koherens fényt sugároz**.
- Ez az eset áll fenn többnyire az önállóan világító szokásos fényforrások (pl. izzó, napfény) esetén.
- Így a **távcső**, a **szem** és a **nagyító** szokásos használata esetén a Rayleigh-kritériumot közvetlenül alkalmazhatjuk.
- Koherens megvilágítás esetén további megfontolások szükségesek (Abbe-féle elmélet, stb).



A távcső felbontóképessége



a távcső felbontási határa

$$\varphi_h = 0,61 \cdot \lambda / r$$

a távcső felbontóképessége

$$F = \frac{1}{\varphi_h} = \frac{r}{0,61 \cdot \lambda}$$

Hawaii Mauna Kea csúcson lévő tükrös távcsőnél $d = 10$ m, így $\lambda = 0,5 \mu\text{m}$ -re

$$\varphi_h = 6,1 \cdot 10^{-8} \text{ rad} = 3,5 \cdot 10^{-6} \text{ fok} \quad \rightarrow \quad F \approx 1,64 \cdot 10^7$$

A szem felbontóképessége

A távcsőnél alkalmazott eljárás a szemre is érvényes, így a felbontás határát és a felbontóképességet ugyanazon formulák írják le.

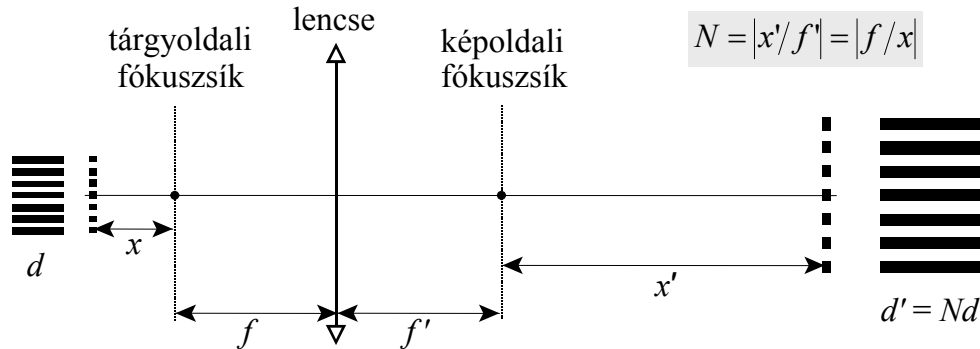
$$d = 4 \text{ mm pupilla átmérőre és } \lambda = 0,5 \mu\text{m-re} \quad \varphi_h = 0,153 \text{ mrad} = 0,52 \text{ ívperc}$$

$$F \approx 6557$$

Valójában az érzékelő sejtek sűrűsége és a leképezési hibák miatt a valódi érték a fizikai határ kétszerese: $\varphi_h = 0,3 \text{ mrad} = 1 \text{ ívperc}$! ($F = 3333$).

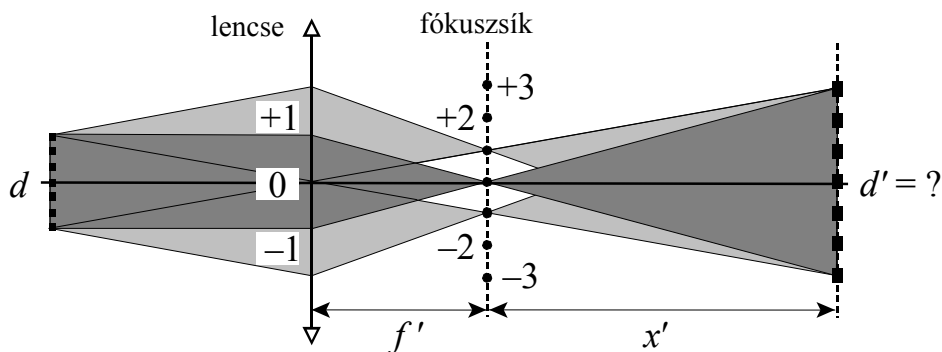
Koherens megvilágítás – Abbe-féle elmélet

- Koherens fényvel megvilágított *kis méretű tárgy* esetén a fényelhajlás jelentős hatással lehet a képre. Gyakorlatban a mikroszkópot használva találkozhatunk ezzel a problémával.
- Az interferencia miatt előfordulhat, hogy a létre jött kép egyáltalán nem hasonlít a tárgyra!
- **Mikor kapunk a tárgyhoz hasonló képet?**
- **Példa:** egy d rácsállandójú rácsot képezünk le egy lencsével, amelynek az adott kép és tárgy síkra vonatkozólag N a nagyítása. Mikor lesz a kép $d' = N \cdot d$ periódusú csíkrendszer?



- A kísérletek azt mutatják, hogy a kép lehet ugyan egy világos-sötét csíkrendszer, de nem minden esetben azonos a tárgy N -szeresére nagyított csíkrendszerével!
- Abbe vizsgálatai szerint **bizonyos feltételeknek** teljesülnie kell ahhoz, hogy a kép a tárgyhoz hasonló legyen.

- A koherens megvilágítás miatt a tárgyon (itt rácson) áthaladó fénynél elhajlás lép fel.
- A lencse **egy adott irányba** haladó párhuzamos fénysugarakat a **fókuszsíkjának egy adott pontjába** gyűjti össze, így ebben a pontban megfigyelhető fényhatás attól függ, hogy az adott **irányba elhajlított** fény intenzitása milyen.
- Ez alapján megmutatható, hogy a **fókuszsíkbeli intenzitás** megegyezik a tárgy által létrehozott **Fraunhofer-féle elhajláshoz** tartozó intenzitás mintázattal.
- A **példabeli** rács esetén a fókuszsíkban megjelenik a rácstra jellemző diffrakciós mintázat, amelynek a maximumai olyan α szöggel adott irányban vannak, melyre $d \cdot \sin \alpha = m \cdot \lambda$, ahol $m = 0, \pm 1, \pm 2, \pm 3, \dots$ a diffrakció rendszáma.
- Az ábra csak a $0, \pm 1$ rendeknek megfelelő párhuzamos sugarakból álló elhajlított fénynyalábokat tünteti fel, a többi rendszámra csak a maximumok helyét szemlélteti.



- Azonban a leképezésben **nem feltétlenül minden** diffrakciós rend vesz részt, például a lencse **nyílásának végeessége**, vagy a fókuszsíkban elhelyezett **nyílásrendszer** (u.n. *térszűrő*) blokkoló hatása (, vagy egyéb blokkoló hatás) miatt.

- Bár a fókuszsíktól tovább terjedő fény a képsíkban ismét egy csíkrendszert hozhat létre, azonban a periódusa nem feltétlenül N -szerese a tárgy periódusának!
- Ha a képbeli csíkrendszer periódusa nem N -szerese tárgy periódusának, akkor a képet nem tekinthetjük a tárgyhöz hasonlóknak. Ekkor a kép alapján nyilván nem tudjuk megmondani, hogy milyen valójában a tárgy!

Abbe a koherens leképezéssel kapcsolatban a következőket állapította meg:

- Ahhoz hogy a kép a tárgyhöz hasonló legyen szükséges és elégséges, hogy legalább három szomszédos diffrakciós rend ($m-1, m, m+1$) részt vegyen a leképezésben.

A példánkban a 0 rend mellett szükséges, hogy a ± 1 rendek is áthaladjanak a lencse nyílásán. Ehhez nyilván a d rácsállandó nem lehet **kisebb** egy bizonyos értéknél, hiszen d **csökkenésével** az elhajlási szög **növekszik**, így egy adott rácsállandó alatt a diffrakciós rendek **kicsúsznak** a lencse nyílásán túlra.

- A kép annál inkább hasonlít a tárgyra, minél több diffrakciós rend vesz részt a leképezésben.

A példánkban a képbeli sötét és világos csíkok közötti ármenet meredekebb lesz a leképezésben résztvevő diffrakciós rendek számának növekedésével. A tárgy esetén ezek az átmenetek ugrásszerűek.

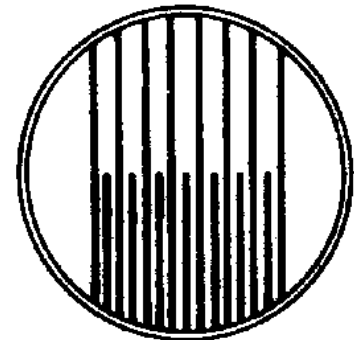
- Két eltérő távolságú tárgybeli pontpár ugyanolyan képsíkbeli elhajlási korong képpárt hozhat létre, amely azt jelenti, hogy legalább az egyik esetben a kép nem hasonló a tárgyhöz!

A példánkban egy $d/2$ rácsállandójú rács esetén például, a 0 és ± 1 rendek egybe esnek az eredeti rács 0 és ± 2 rendjeivel. Így, ha az eredeti esetben a képpalkotásban a 0 és ± 2 rendek, a feles periódusú rácsnál a 0 és ± 1 rendek vesznek részt, akkor a képsíkban mindkét esetben ugyanazon $Nd/2$ periódusú csíkrendszert kapunk.

Az előbbi megállapítások szemléltetése az Abbe-féle optikai kettős ráccsal.

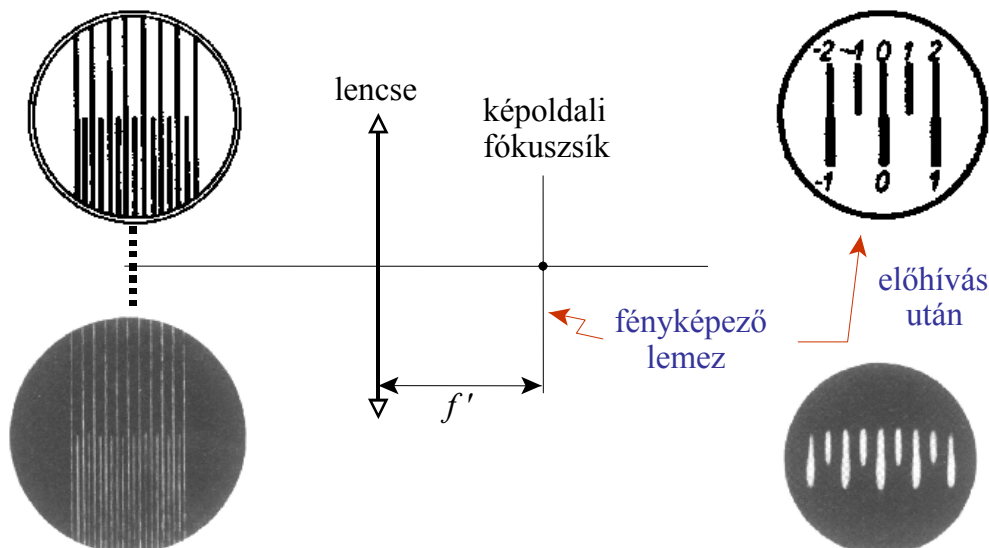
Abbe-féle optikai kettős rács

- Olyan optikai rács, melynél a párhuzamos karcolatok alul kétszer sűrűbben helyezkednek el, mint a rács felső részében.

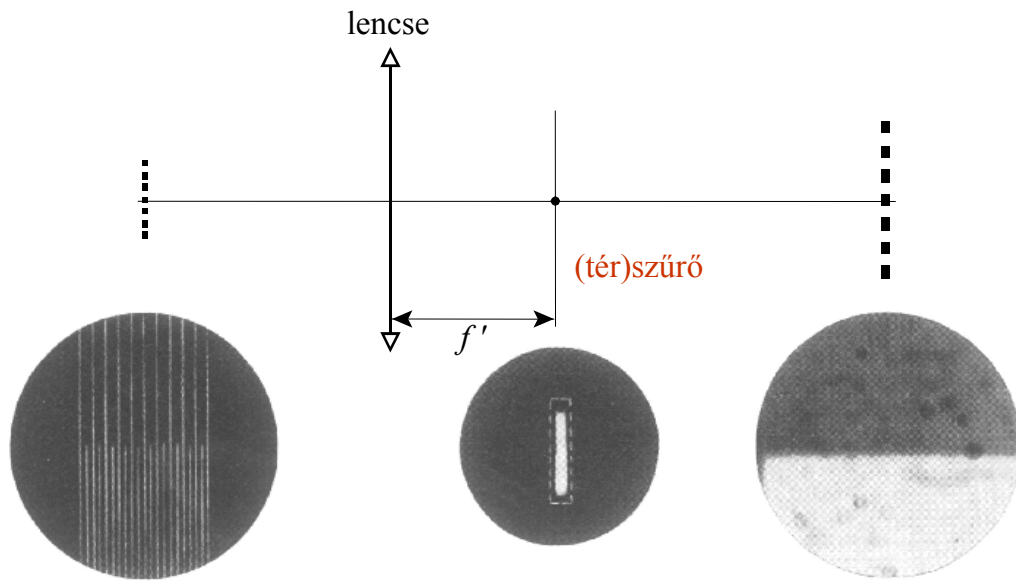


Kísérletek az Abbe-féle optikai kettős ráccsal

- Az ábrán látott elrendezésben a képoldali fókusz síkba egy fényképező lemezt (filmet) teszünk, akkor előhívás után a lemezen egy csíkrendszert kapunk. Az egyes csíkok mellé írt számok a diffrakciós rendszámot mutatják.

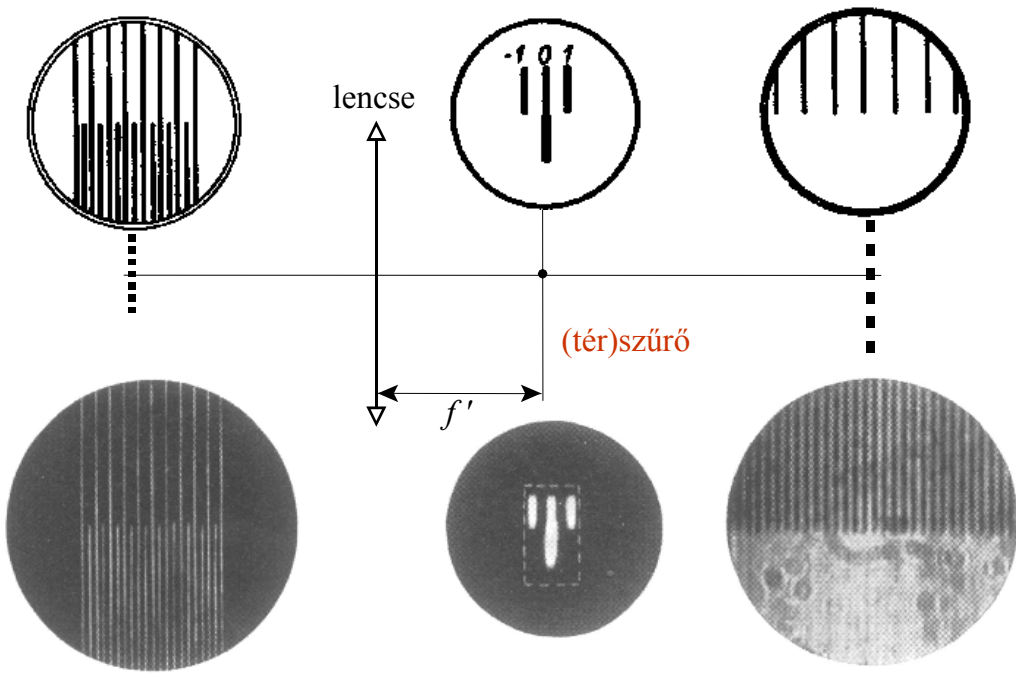


- A fényképező lemez alapján készíthetünk egy nyílásrendszert (térshúrót), amelyet a fókuszsíkba helyezve, bizonyos diffrakációs rendeket kizárhatunk, míg másokat átengedhetünk.
- Ha olyan shúrót használunk, amely csak nulladrendeket engedi át, akkor a képsíkban az ábrán látható kép jön létre.



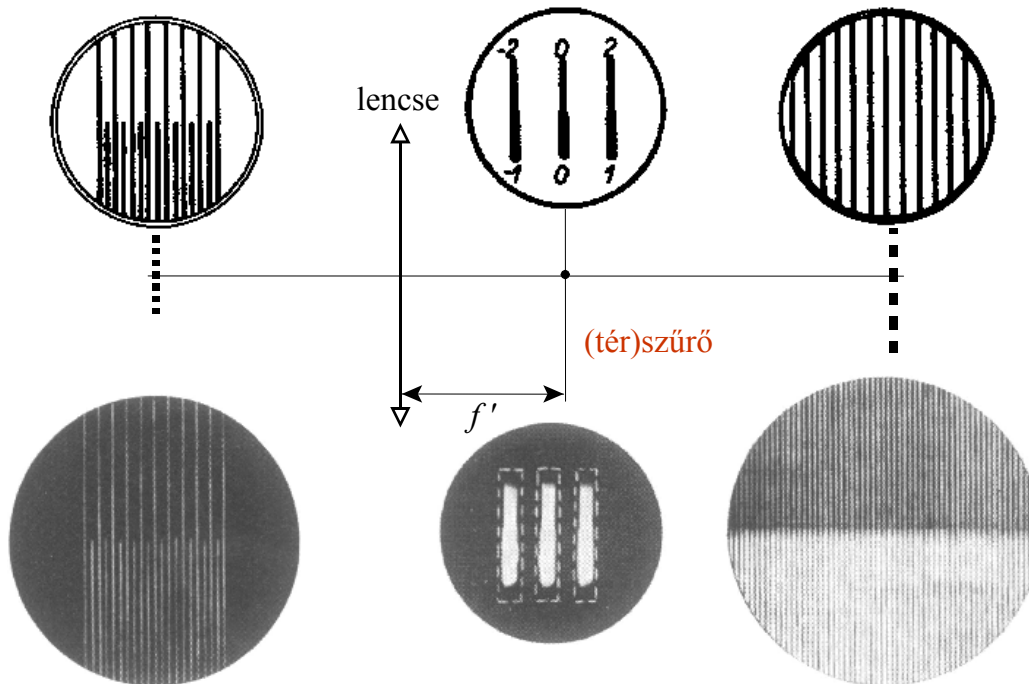
- Látható, hogy a keletkező kép nem hasonlít a tárgyra. Ezt azzal magyarázhatjuk, hogy a nulladrend önmagában nem elegendő a tárgyhoz hasonló képalkotáshoz, ehhez még szükséges két szomszédos diffrakációs (pl. a ± 1) rend átengedése is.

- Ha olyan shúrót használunk amely a felső résznél átengedi a 0 és a ± 1 rendeket, az alsó résznél csak 0 rendet engedi át, akkor a képsíkban az ábrán látható kép jön létre.



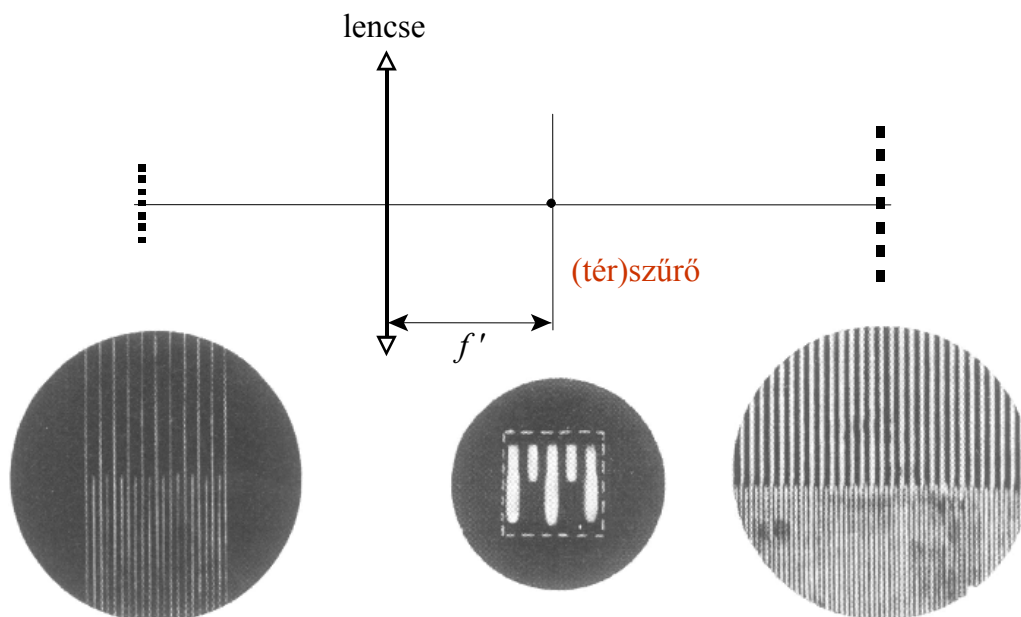
- Látható, hogy a rács felső feléről hasonló képet kaptunk, míg az alsóról nem.

- Ha olyan szűrőt használunk amely a felső résznél átengedi a 0 és a ± 2 rendeket, az alsó résznél a 0 és a ± 1 rendeket engedi át, akkor a képsíkban az ábrán látható kép jön létre.



- Látható, hogy a képbeli csíkrendszer alul és felül is ugyanolyan periódusú, pedig a hasonló képhez felül kétszer ritkább csíkrendszert kellene kapni.

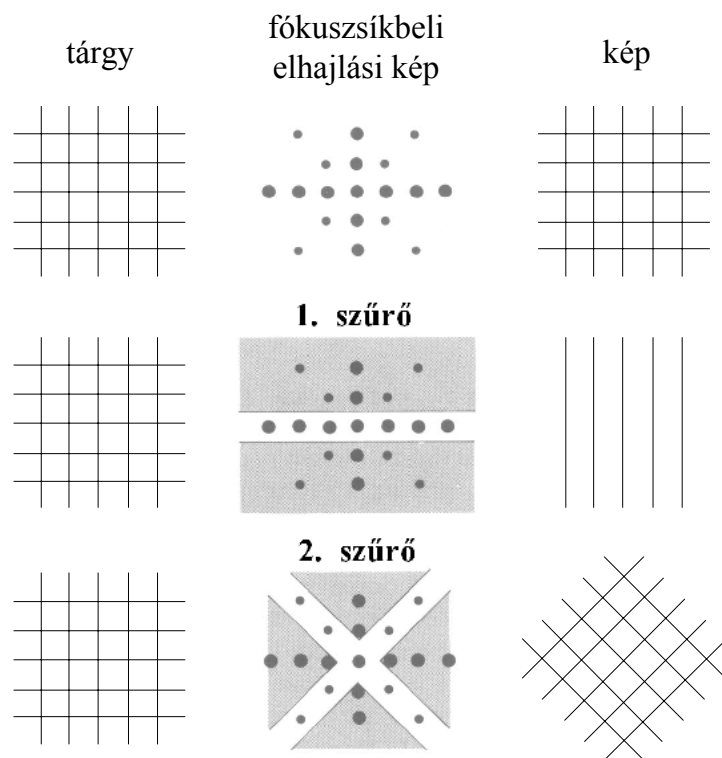
- Ha olyan szűrőt használunk amely a felső résznél átengedi a 0, a ± 1 és a ± 2 rendeket, az alsó résznél a 0 és a ± 1 rendeket engedi át, akkor a képsíkban az ábrán látható kép jön létre.



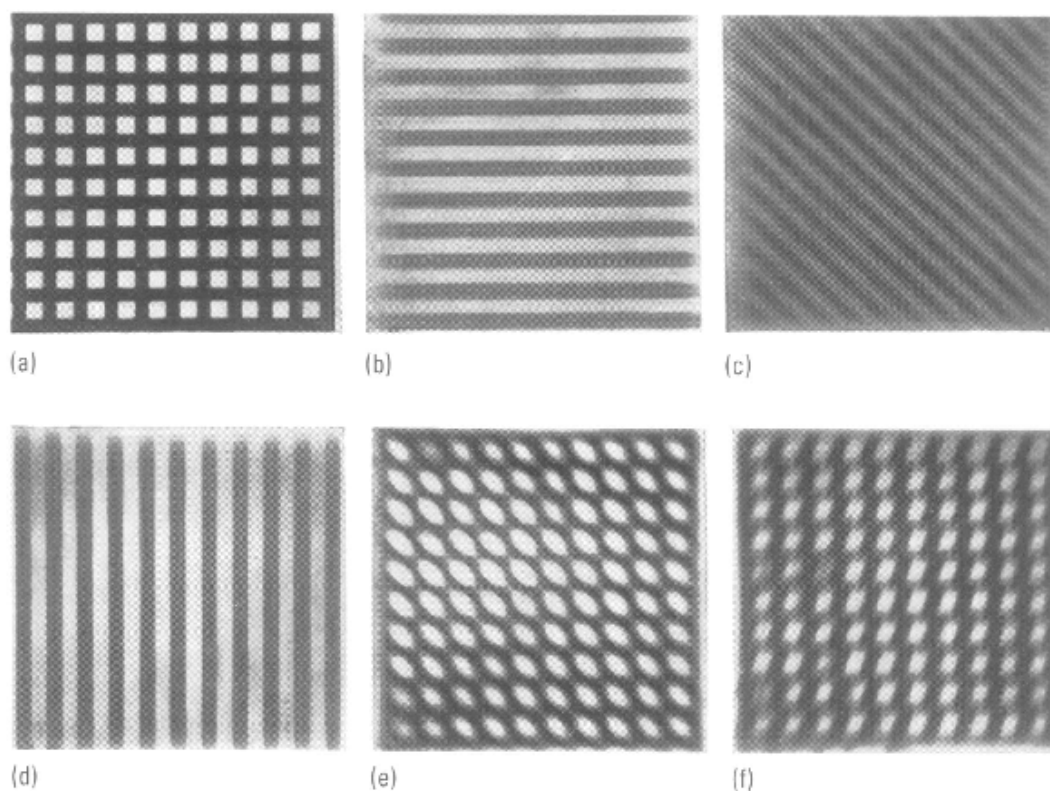
- Látható, hogy a képbeli csíkrendszer hasonló a tárgyhoz és a felső csíkrendszer élesebb mint amikor felül csak a 0, ± 1 rendeket engedték át.
- További magasabb diffrakciós rendek átengedésével a csíkok még élesebbek lesznek és kép még inkább hasonlít a tárgyra.

Az Abbe-féle elmélet további kísérleti szemléltetése

- Egy lencsével egymásra merőleges csikokból álló tárgyat képezünk le.
- Szűrő nélkül (azaz sok diffrakciós rendet átengedve) az első sorban látható képet kapjuk.
- Ha a fókusz síkba az 1. és a 2. térszűrőt helyezzük, akkor a következő képeket kapjuk.



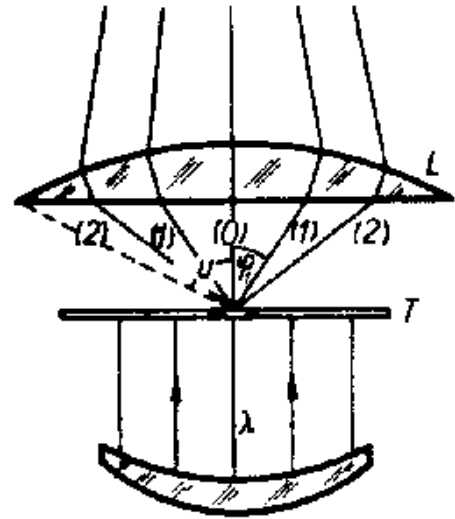
- Egy lencsével egymásra merőleges csikokból álló tárgyat képezünk le (a).
- A fókusz síkba egy keskeny forgatható rést helyezünk.
- A rés forgatásával a (b), (c), ..., (f) képeket kapjuk.



A mikroszkóp felbontóképessége

koherens megvilágítás

- A mikroszkóppal vizsgált – felbontani kívánt – tárgy szerkezetének lineáris méretét jelölje d .
- A koherens megvilágítás miatt a tárgyon elhajlás lép fel. Az diffrakciós rendek φ_m elhajlási szögét a $d \cdot \sin \varphi_m = m \cdot \lambda$ egyenletből számíthatjuk ki.
- Az Abbe-féle elmélet alapján, ahhoz, hogy a tárgyhoz hasonló képet kapjunk, legalább a 0 és a ± 1 elhajlási rendeknek át kell menniük az objektívén.
- Ehhez nyilván az szükséges, hogy a ± 1 elhajlási rendek az objektív apertúráján (nyílásán) belülre essenek, azaz – az ábra jelöléseit használva –



$$u \geq \varphi_1 .$$

$$\sin u \geq \sin \varphi_1$$

$$d \cdot \sin \varphi_1 = 1 \cdot \lambda$$

$$\sin u \geq \lambda/d$$

A felbontás határán: $\sin u = \lambda/d$

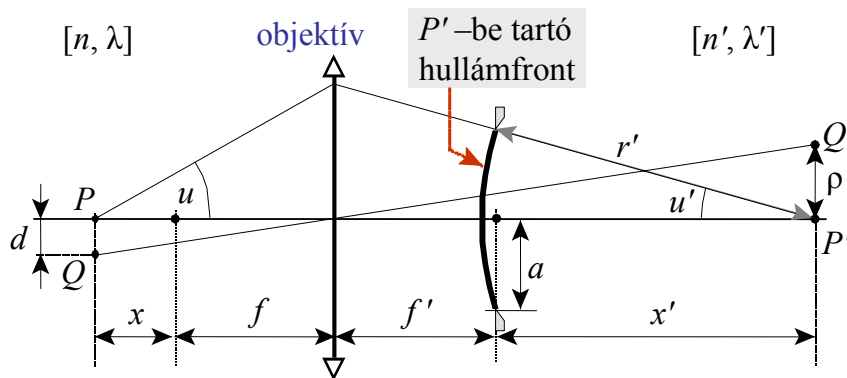
$$F = \frac{1}{d} = \frac{\sin u}{\lambda} = \frac{n \sin u}{\lambda_0} ,$$

ahol n az objektív és a tárgy közötti közeg törésmutatója,
 λ_0 a vákuumbeli hullámhossz.

$$F = \frac{n \cdot \sin u}{\lambda_0}$$

inkoherens megvilágítás

- A mikroszkóppal vizsgált – felbontani kívánt – tárgy szerkezetének lineáris méretét jelölje d .
- P és Q pontok képei P' és Q' .



- A Rayleigh-féle kritérium alapján, a felbontás határán a Q' éppen P' -höz tartozó elhajlási korong peremére esik, így a felbontás határán

$$\rho = 0,61 \cdot \lambda' \frac{r'}{a} = \frac{0,61 \cdot \lambda'}{\sin u'}$$

Az aberráció mentes leképezésre teljesül a szinuszfeltétel:

$$d \cdot n \cdot \sin u = \rho \cdot n' \cdot \sin u'$$

$$\rho = \frac{0,61 \cdot \lambda'}{d \cdot n \cdot \sin u} = \frac{0,61 \cdot \lambda'}{d \cdot n \cdot \sin u} \rho \cdot n'$$

azaz

$$\frac{0,61 \cdot \lambda'}{d \cdot n \cdot \sin u} \cdot n' = 1$$

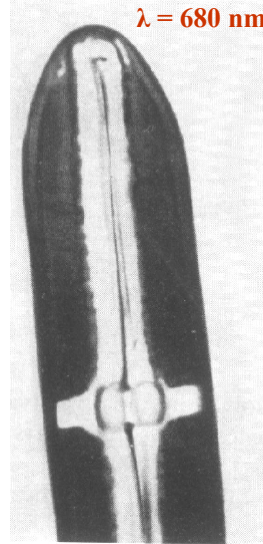
Így a felbontóképesség: $F = \frac{1}{d} = \frac{n \cdot \sin u}{0,61 \cdot \lambda' \cdot n'} = \frac{n \cdot \sin u}{0,61 \cdot \lambda_0}$

$$F = \frac{n \cdot \sin u}{0,61 \cdot \lambda_0}$$

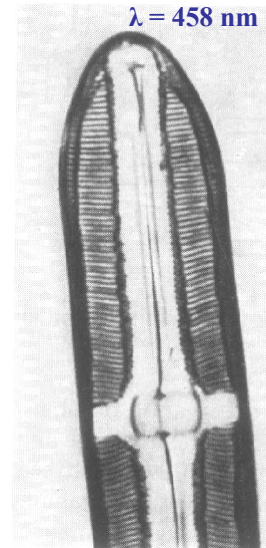
- Látható, hogy a két (koherens és inkoherens) eset azonos nagyságrendű eredményre vezet, hiszen csak a nevezőben lévő 0,61 szorzótényezőben különböznek!
- A számlálóban lévő $n \cdot \sin u$ mennyiséget az objektív *numerikus apertúrájának* nevezik, és az objektív egyik fontos értékmérője!
- A felbontóképesség a numerikus apertúrával arányosan nő, ezért nagyobb felbontóképesség eléréséhez nagy numerikus apertúrájú objektív használata szükséges.
- Mivel a törésmutató tipikus értéke 1 és 1,5 közé esik és $\sin u \leq 1$, a feloldás határáról (vagyis a még éppen felbontott pontok távolságáról) megállapíthatjuk, hogy a megvilágító fény vákuumbeli hullámhosszával azonos vagy annál nagyobb nagyságrendű.
- Ebből arra következtethetünk, hogy rövidebb hullámhosszúságú fényt alkalmazva finomabb részleteket tudunk felbontani!

Egy alga mikroszkóppal készített képe
1000-szeres nagyításban

vörös fényvel
 $\lambda = 680 \text{ nm}$



kék fényvel
 $\lambda = 458 \text{ nm}$



(b)